

Starkniederschlagshöhen und -spenden gemäß KOSTRA-DWD-2020

Rasterfeld 146193

(Zeile 146, Spalte 193)

Regenspende und Bemessungsniederschlagswerte in Abhängigkeit von Wiederkehrzeit T und Dauerstufe D

| Dauerstufe D | | Wiederkehrzeit T | | | | | | | | | | | | | | | | | |
|--------------|-----|------------------|------------|------|------------|-------|------------|-------|------------|-------|------------|-------|------------|-------|------------|-------|------------|-------|------------|
| | | 1 a | | 2 a | | 3 a | | 5 a | | 10 a | | 20 a | | 30 a | | 50 a | | 100 a | |
| min | Std | mm | l / (s ha) | mm | l / (s ha) | mm | l / (s ha) | mm | l / (s ha) | mm | l / (s ha) | mm | l / (s ha) | mm | l / (s ha) | mm | l / (s ha) | mm | l / (s ha) |
| 5 | | 7,4 | 246,7 | 9,4 | 313,3 | 10,7 | 356,7 | 12,4 | 413,3 | 14,8 | 493,3 | 17,3 | 576,7 | 18,9 | 630,0 | 21,0 | 700,0 | 24,1 | 803,3 |
| 10 | | 9,5 | 158,3 | 12,2 | 203,3 | 13,9 | 231,7 | 16,0 | 266,7 | 19,1 | 318,3 | 22,4 | 373,3 | 24,5 | 408,3 | 27,2 | 453,3 | 31,2 | 520,0 |
| 15 | | 10,9 | 121,1 | 14,0 | 155,6 | 15,9 | 176,7 | 18,4 | 204,4 | 21,9 | 243,3 | 25,6 | 284,4 | 28,0 | 311,1 | 31,2 | 346,7 | 35,8 | 397,8 |
| 20 | | 12,0 | 100,0 | 15,3 | 127,5 | 17,4 | 145,0 | 20,1 | 167,5 | 24,1 | 200,8 | 28,1 | 234,2 | 30,8 | 256,7 | 34,2 | 285,0 | 39,2 | 326,7 |
| 30 | | 13,6 | 75,6 | 17,4 | 96,7 | 19,7 | 109,4 | 22,8 | 126,7 | 27,3 | 151,7 | 31,9 | 177,2 | 34,9 | 193,9 | 38,8 | 215,6 | 44,4 | 246,7 |
| 45 | | 15,3 | 56,7 | 19,6 | 72,6 | 22,3 | 82,6 | 25,8 | 95,6 | 30,8 | 114,1 | 36,0 | 133,3 | 39,3 | 145,6 | 43,8 | 162,2 | 50,1 | 185,6 |
| 60 | 1 | 16,7 | 46,4 | 21,3 | 59,2 | 24,2 | 67,2 | 28,0 | 77,8 | 33,5 | 93,1 | 39,1 | 108,6 | 42,8 | 118,9 | 47,6 | 132,2 | 54,6 | 151,7 |
| 90 | 1,5 | 18,8 | 34,8 | 24,0 | 44,4 | 27,2 | 50,4 | 31,5 | 58,3 | 37,7 | 69,8 | 44,0 | 81,5 | 48,1 | 89,1 | 53,6 | 99,3 | 61,3 | 113,5 |
| 120 | 2 | 20,4 | 28,3 | 26,1 | 36,3 | 29,6 | 41,1 | 34,2 | 47,5 | 40,9 | 56,8 | 47,8 | 66,4 | 52,3 | 72,6 | 58,2 | 80,8 | 66,6 | 92,5 |
| 180 | 3 | 22,9 | 21,2 | 29,2 | 27,0 | 33,2 | 30,7 | 38,4 | 35,6 | 45,9 | 42,5 | 53,6 | 49,6 | 58,6 | 54,3 | 65,3 | 60,5 | 74,7 | 69,2 |
| 240 | 4 | 24,8 | 17,2 | 31,7 | 22,0 | 36,0 | 25,0 | 41,6 | 28,9 | 49,8 | 34,6 | 58,1 | 40,3 | 63,6 | 44,2 | 70,8 | 49,2 | 81,1 | 56,3 |
| 360 | 6 | 27,8 | 12,9 | 35,6 | 16,5 | 40,4 | 18,7 | 46,7 | 21,6 | 55,8 | 25,8 | 65,1 | 30,1 | 71,3 | 33,0 | 79,3 | 36,7 | 90,9 | 42,1 |
| 540 | 9 | 31,1 | 9,6 | 39,8 | 12,3 | 45,2 | 14,0 | 52,3 | 16,1 | 62,5 | 19,3 | 73,0 | 22,5 | 79,9 | 24,7 | 88,9 | 27,4 | 101,8 | 31,4 |
| 720 | 12 | 33,8 | 7,8 | 43,2 | 10,0 | 49,0 | 11,3 | 56,7 | 13,1 | 67,7 | 15,7 | 79,1 | 18,3 | 86,6 | 20,0 | 96,3 | 22,3 | 110,4 | 25,6 |
| 1080 | 18 | 37,8 | 5,8 | 48,4 | 7,5 | 54,9 | 8,5 | 63,5 | 9,8 | 75,9 | 11,7 | 88,6 | 13,7 | 97,0 | 15,0 | 107,9 | 16,7 | 123,6 | 19,1 |
| 1440 | 24 | 41,0 | 4,7 | 52,4 | 6,1 | 59,5 | 6,9 | 68,8 | 8,0 | 82,2 | 9,5 | 96,0 | 11,1 | 105,1 | 12,2 | 117,0 | 13,5 | 134,0 | 15,5 |
| 2880 | 48 | 49,7 | 2,9 | 63,6 | 3,7 | 72,2 | 4,2 | 83,5 | 4,8 | 99,8 | 5,8 | 116,5 | 6,7 | 127,5 | 7,4 | 141,9 | 8,2 | 162,6 | 9,4 |
| 4320 | 72 | 55,7 | 2,1 | 71,2 | 2,7 | 80,8 | 3,1 | 93,5 | 3,6 | 111,7 | 4,3 | 130,5 | 5,0 | 142,8 | 5,5 | 158,9 | 6,1 | 182,0 | 7,0 |
| 5760 | 96 | 60,3 | 1,7 | 77,2 | 2,2 | 87,6 | 2,5 | 101,3 | 2,9 | 121,1 | 3,5 | 141,4 | 4,1 | 154,7 | 4,5 | 172,2 | 5,0 | 197,2 | 5,7 |
| 7200 | 120 | 64,2 | 1,5 | 82,1 | 1,9 | 93,2 | 2,2 | 107,8 | 2,5 | 128,8 | 3,0 | 150,5 | 3,5 | 164,7 | 3,8 | 183,3 | 4,2 | 209,9 | 4,9 |
| 8640 | 144 | 67,5 | 1,3 | 86,4 | 1,7 | 98,1 | 1,9 | 113,4 | 2,2 | 135,5 | 2,6 | 158,3 | 3,1 | 173,3 | 3,3 | 192,8 | 3,7 | 220,9 | 4,3 |
| 10080 | 168 | 70,5 | 1,2 | 90,2 | 1,5 | 102,4 | 1,7 | 118,4 | 2,0 | 141,5 | 2,3 | 165,3 | 2,7 | 180,9 | 3,0 | 201,3 | 3,3 | 230,6 | 3,8 |

Starkniederschlagshöhen und -spenden gemäß KOSTRA-DWD-2020

Rasterfeld 146193

(Zeile 146, Spalte 193)

Örtliche Unsicherheiten in Abhängigkeit von Wiederkehrzeit T und Dauerstufe D

| Dauerstufe D | | Wiederkehrzeit T | | | | | | | | |
|--------------|-----|------------------|-----|-----|-----|------|------|------|------|-------|
| | | 1 a | 2 a | 3 a | 5 a | 10 a | 20 a | 30 a | 50 a | 100 a |
| min | Std | ± % | ± % | ± % | ± % | ± % | ± % | ± % | ± % | ± % |
| 5 | | 15 | 16 | 17 | 18 | 19 | 19 | 20 | 20 | 21 |
| 10 | | 18 | 20 | 21 | 22 | 23 | 24 | 24 | 25 | 25 |
| 15 | | 19 | 22 | 23 | 24 | 25 | 26 | 26 | 27 | 27 |
| 20 | | 20 | 22 | 23 | 25 | 26 | 27 | 27 | 28 | 28 |
| 30 | | 21 | 23 | 24 | 25 | 27 | 27 | 28 | 29 | 29 |
| 45 | | 21 | 23 | 24 | 25 | 26 | 27 | 28 | 28 | 29 |
| 60 | 1 | 20 | 22 | 24 | 25 | 26 | 27 | 28 | 28 | 29 |
| 90 | 1,5 | 19 | 22 | 23 | 24 | 25 | 26 | 27 | 27 | 28 |
| 120 | 2 | 18 | 21 | 22 | 23 | 24 | 25 | 26 | 26 | 27 |
| 180 | 3 | 17 | 20 | 21 | 22 | 23 | 24 | 25 | 25 | 26 |
| 240 | 4 | 16 | 19 | 20 | 21 | 22 | 23 | 24 | 24 | 25 |
| 360 | 6 | 16 | 18 | 19 | 20 | 21 | 22 | 22 | 23 | 23 |
| 540 | 9 | 15 | 17 | 18 | 19 | 20 | 21 | 21 | 22 | 22 |
| 720 | 12 | 14 | 16 | 17 | 18 | 19 | 20 | 20 | 21 | 21 |
| 1080 | 18 | 14 | 16 | 16 | 17 | 18 | 19 | 19 | 20 | 20 |
| 1440 | 24 | 14 | 15 | 16 | 17 | 18 | 19 | 19 | 19 | 20 |
| 2880 | 48 | 16 | 16 | 17 | 17 | 18 | 18 | 19 | 19 | 19 |
| 4320 | 72 | 17 | 17 | 17 | 18 | 18 | 19 | 19 | 19 | 19 |
| 5760 | 96 | 18 | 18 | 18 | 18 | 19 | 19 | 19 | 19 | 20 |
| 7200 | 120 | 19 | 19 | 19 | 19 | 19 | 20 | 20 | 20 | 20 |
| 8640 | 144 | 20 | 20 | 20 | 20 | 20 | 20 | 20 | 20 | 21 |
| 10080 | 168 | 21 | 20 | 20 | 20 | 20 | 20 | 21 | 21 | 21 |

Parameter für abweichende T und D

Lokationsparameter ξ (Xi)

16,91128354

Skalenparameter α (Alpha)

6,56352269

Formparameter κ (Kappa)

-0,1

1. Koutsoyiannis-Parameter θ (Theta)

0,01747331

2. Koutsoyiannis-Parameter η (Eta)

0,72115777

Parameter für dauerstufenübergreifende Extremwertschätzung nach KOUTSOYIANNIS et al. 1998.

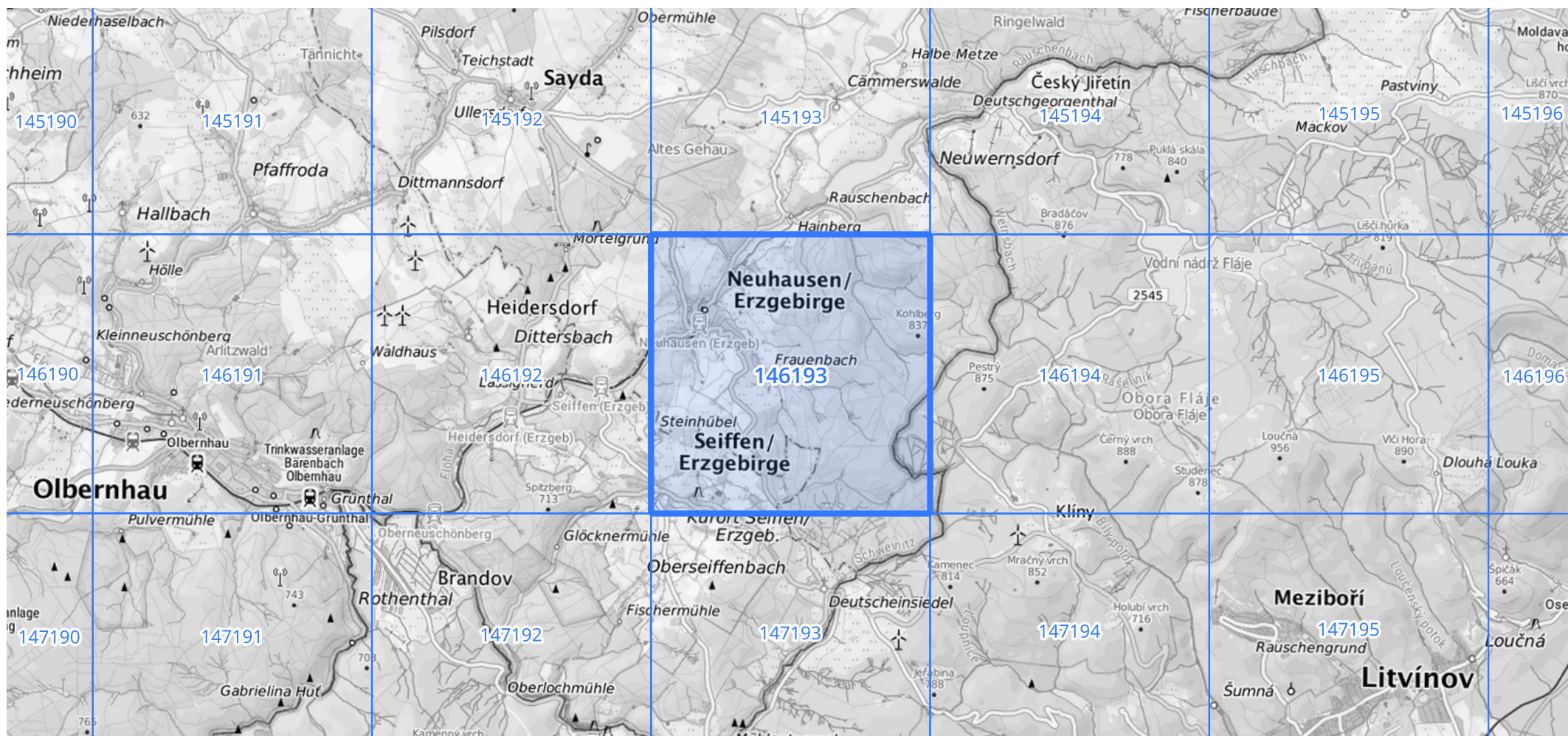
Siehe auch Anwendungshilfe zu KOSTRA-DWD-2020 des Deutschen Wetterdienstes.

Starkniederschlagshöhen und -spenden gemäß KOSTRA-DWD-2020

Rasterfeld 146193

(Zeile 146, Spalte 193)

Übersichtskarte des Rasterfeldes 146193, M 1 : 100 000



Quelle Rasterdaten: KOSTRA-DWD-2020 des Deutschen Wetterdienstes, Stand 12/2022.

Seite 3 von 3

Kartendarstellung: © Bundesamt für Kartographie und Geodäsie (2023), Datenquellen: https://sgx.geodatenzentrum.de/web_public/gdz/datenquellen/Datenquellen_TopPlusOpen.html

Für die Richtigkeit und Aktualität der Angaben wird keine Gewähr übernommen. Erstellt 01/2023.